

# HADRONIC DECAYS OF THE TAU LEPTON:

$\tau^- \rightarrow K \bar{K} \pi^- \nu_\tau$  CHANNELS

**Pablo Roig Garcés**

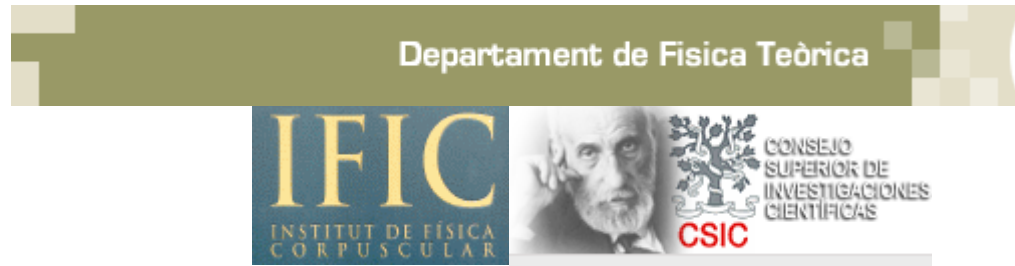
Trabajo de Investigación de Tercer Ciclo

Director: Jorge Portolés Ibáñez

Valencia, a 12 de Septiembre de 2006



VNIVERSITAT DE VALÈNCIA



# CONTENIDOS

- Teorías Efectivas: Teoría de Perturbaciones Quiral
- Límite de Gran Número de Colores y Teoría Quiral de Resonancias
- Desintegraciones Hadrónicas del Leptón  $\tau$
- Canales  $K \bar{K} \pi^-$  en Teoría Quiral de Resonancias
- Conclusiones y Perspectivas de Futuro

Trabajo de Investigación

Director: Jorge Portolés

$$\tau^- \rightarrow K \bar{K} \pi^- \nu_\tau \text{ en } R\chi T$$

Pablo Roig

# Teorías Efectivas: Teoría de Perturbaciones Quiral, $\chi$ PT

**Fenomenología** ↔ **QCD**

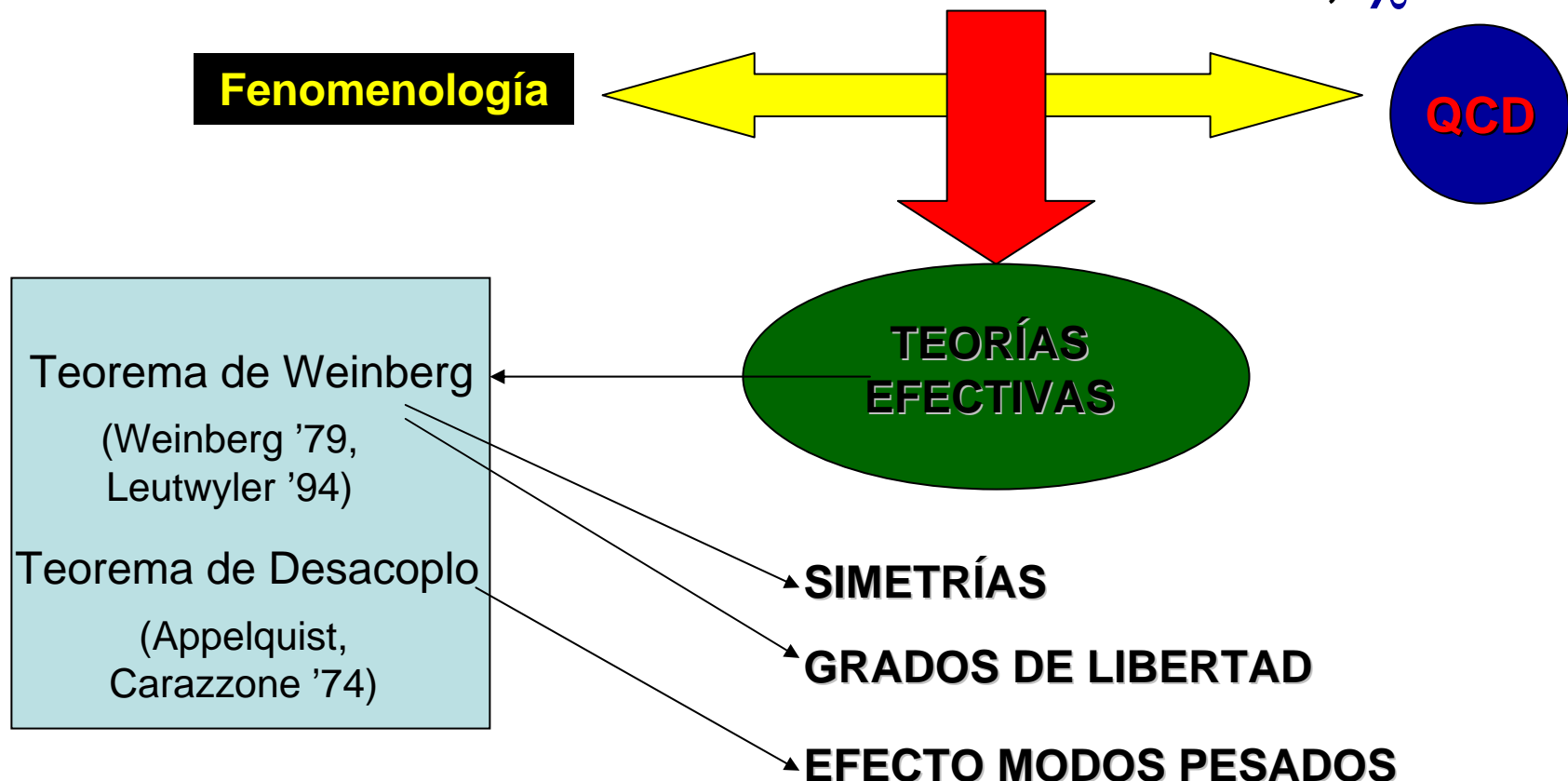
?

| $J^P$          | Partícula | masa (MeV) | $J^P$          | Partícula | masa (MeV) |
|----------------|-----------|------------|----------------|-----------|------------|
| 0 <sup>-</sup> | $\pi$     | ~140       | 0 <sup>+</sup> | $a_0$     | ~980       |
|                | K         | ~495       |                | $K_0^*$   | ~800       |
|                | $\eta$    | ~540       |                | $f_0$     | ~980       |
|                |           |            |                |           |            |
| $J^P$          | Partícula | masa (MeV) | $J^P$          | Partícula | masa (MeV) |
| 1 <sup>-</sup> | $\rho$    | ~770       | 1 <sup>+</sup> | $a_1$     | ~1200      |
|                | $K^*$     | ~890       |                | $K_1^*$   | ~1270      |
|                | $\omega$  | ~780       |                | $h_1$     | ~1170      |

q, G

BAJAS ENERGÍAS ↔ ALTAS ENERGÍAS

# Teorías Efectivas: Teoría de Perturbaciones Quiral, $\chi$ PT



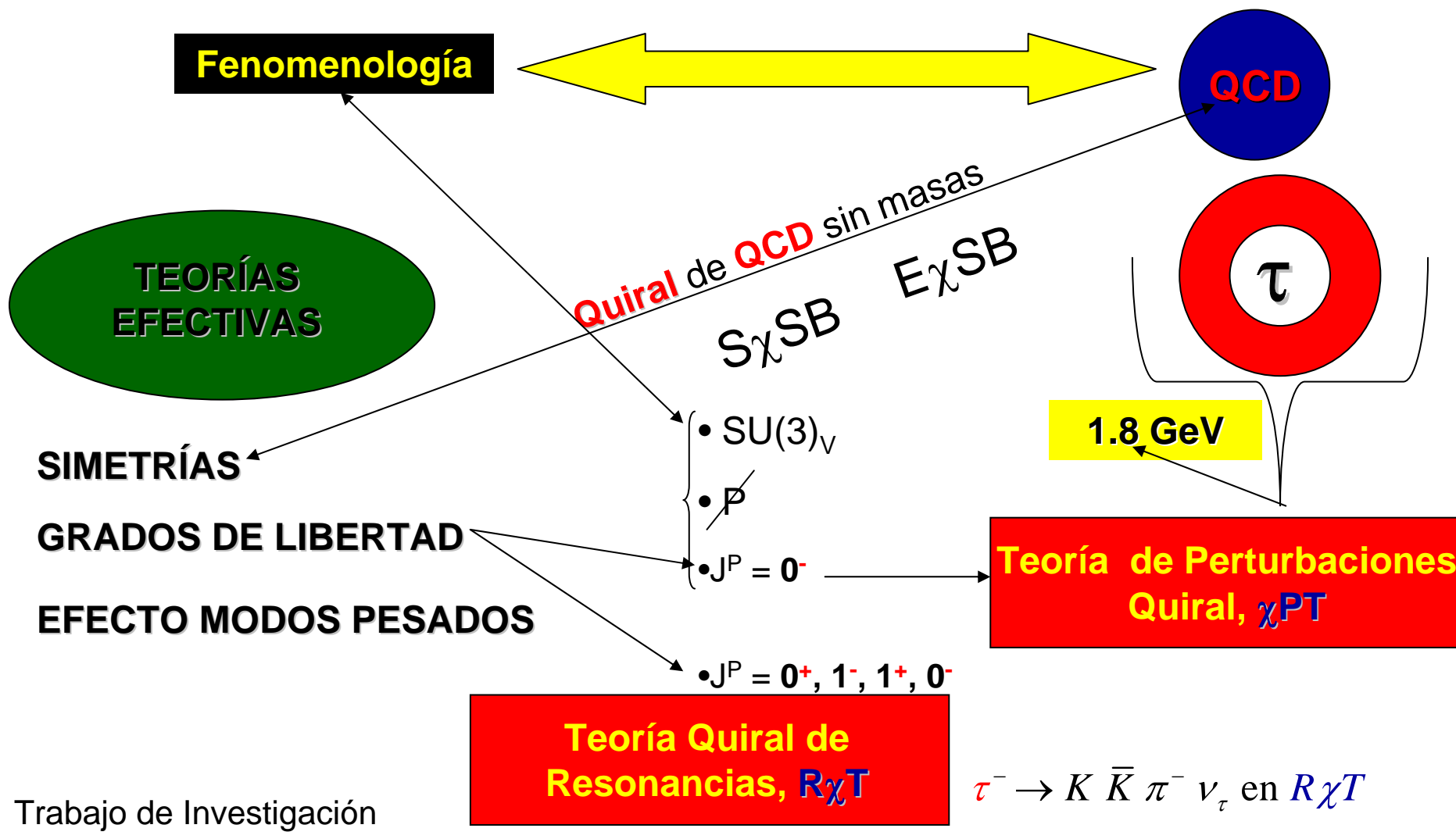
Trabajo de Investigación

Director: Jorge Portolés

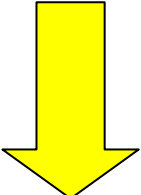
$$\tau^- \rightarrow K \bar{K} \pi^- \nu_\tau \text{ en } R\chi T$$

Pablo Roig

# Teorías Efectivas: Teoría de Perturbaciones Quiral, $\chi$ PT



# Teorías Efectivas: Teoría de Perturbaciones Quiral, $\chi$ PT

$\chi$ PT  


$$\frac{p^2, m^2}{(4\pi F)^2}, \frac{p^2, m^2}{(M_R)^2}$$

(Gasser,  
Leutwyler  
'84, '85)

$$\phi(x) = \begin{pmatrix} \frac{\pi^0}{\sqrt{2}} + \frac{\eta_8}{\sqrt{6}} & \pi^+ & K^+ \\ \pi^- & -\frac{\pi^0}{\sqrt{2}} + \frac{\eta_8}{\sqrt{6}} & K^0 \\ K^- & \bar{K}^0 & -\frac{2\eta_8}{\sqrt{6}} \end{pmatrix}$$

$$u(x) = \exp\left(\frac{i\phi(x)}{\sqrt{2}F}\right), \quad u_\mu = i[u^\dagger(\partial_\mu - i\textcolor{red}{r}_\mu)u - u(\partial_\mu - i\textcolor{red}{l}_\mu)u^\dagger]$$

$$\chi = 2\textcolor{green}{B}_0(s + ip), \quad \chi_\pm = u^\dagger \chi u^\dagger \pm u \chi u$$

$$f_\pm^{\mu\nu} = u F_{\textcolor{blue}{L}}^{\mu\nu} u^\dagger \pm u^\dagger F_{\textcolor{blue}{R}}^{\mu\nu} u$$

$$L_{\chi}^{(2)} = \frac{F^2}{4} \langle u_\mu u^\mu + \chi_+ \rangle$$

$$L_{\chi}^{(4)} = \textcolor{green}{L}_1 \langle u_\mu u^\mu \rangle^2 + \dots + \textcolor{green}{L}_4 \langle u_\mu u^\mu \rangle \langle \chi_+ \rangle + \dots + \textcolor{green}{L}_7 \langle \chi_- \rangle^2 + \dots - i\textcolor{green}{L}_9 \langle f_+^{\mu\nu} u_\mu u_\nu \rangle + \dots$$

$L_{\chi, \text{WZW}}^{(4)}$  en el sector de paridad intrínseca negativa

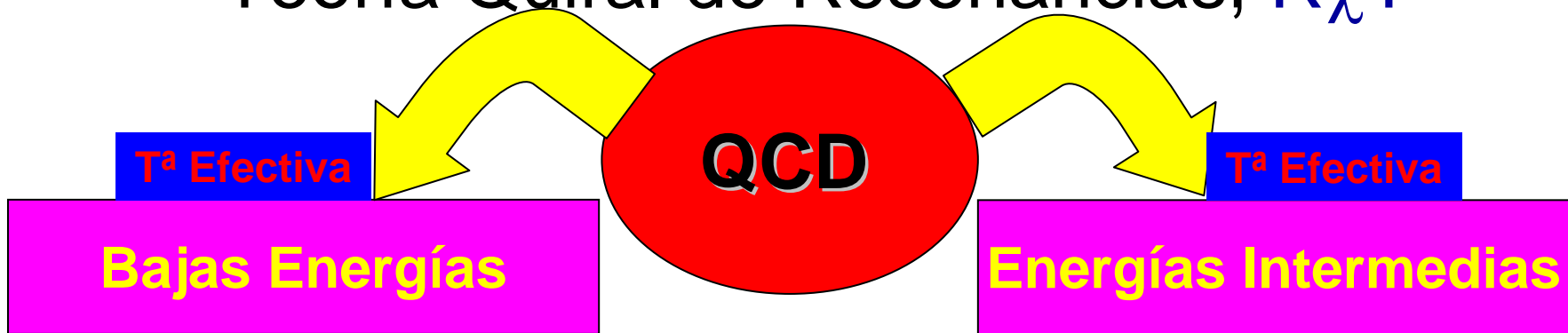
$$\textcolor{red}{\tau}^- \rightarrow K \bar{K} \pi^- \nu_\tau \text{ en } R\chi T$$

Trabajo de Investigación

Director: Jorge Portolés

Pablo Roig

# Límite de Gran Número de Colores, $N_C$ : Teoría Quiral de Resonancias, $R\chi T$



$\chi\text{PT}$

$$\frac{p^2, m^2}{(4\pi F)^2}, \frac{p^2, m^2}{(M_R)^2}$$

(Gasser,  
Leutwyler  
'84, '85)

- MHA
  - $\infty$  # Resonancias de  $\Gamma = 0$
  - Diagramas árbol  
**1.8 GeV**
  - Empalme con OPE
- Anchura off-shell
- Inspirados por  **$1/N_C$**  ('t Hooft '74, Witten '79)

$R\chi T$

$$\tau^- \rightarrow K \bar{K} \pi^- \nu_\tau \text{ en } R\chi T$$

Trabajo de Investigación

Director: Jorge Portolés

Pablo Roig

# Límite de Gran Número de Colores, $N_C$ : Teoría Quiral de Resonancias, $R\chi T$

(Ecker, Gasser, Pich, De Rafael '89)

(Ecker, Gasser, Leutwyler, Pich, De Rafael '89)

$$L_{R\chi T}^{(P_i=+)} = L_{\chi}^{(2)} + L_{V,A}^{kin} + L_V + L_A$$

$$L_V = \frac{F_V}{2\sqrt{2}} \langle V_{\mu\nu} f_+^{\mu\nu} \rangle + \frac{iG_V}{\sqrt{2}} \langle V_{\mu\nu} u^\mu u^\nu \rangle$$

$$L_A = \frac{F_A}{2\sqrt{2}} \langle A_{\mu\nu} f_-^{\mu\nu} \rangle$$

$$V_{\mu\nu}(x) = \begin{pmatrix} \frac{\rho^0}{\sqrt{2}} + \frac{\omega_8}{\sqrt{6}} & \rho^+ & K^{*+} \\ \rho^- & -\frac{\rho^0}{\sqrt{2}} + \frac{\omega_8}{\sqrt{6}} & K^{*0} \\ K^{*-} & \bar{K}^{*0} & -\frac{2\omega_8}{\sqrt{6}} \end{pmatrix}_{\mu\nu}$$

**Formalismo Tensorial  
Antisimétrico**

Trabajo de Investigación

Director: Jorge Portolés

$\tau^- \rightarrow K \bar{K} \pi^- \nu_\tau$  en  $R\chi T$

Pablo Roig

# Límite de Gran Número de Colores, $N_C$ : Teoría Quiral de Resonancias, $R\chi T$

$$L_{R\chi T}^{(P_i=+)} = L_{\chi}^{(2)} + L_{V,A}^{kin} + L_V + L_A + L_{VAP};$$

(Ecker, Gasser, Pich, De Rafael '89)

$$L_V = \frac{F_V}{2\sqrt{2}} \langle V_{\mu\nu} f_+^{\mu\nu} \rangle + \frac{iG_V}{\sqrt{2}} \langle V_{\mu\nu} u^\mu u^\nu \rangle$$

(Ecker, Gasser, Leutwyler, Pich, De Rafael '89)

$$L_A = \frac{F_A}{2\sqrt{2}} \langle A_{\mu\nu} f_-^{\mu\nu} \rangle$$

$$L_{VAP} = \sum_{i=1}^5 \lambda_i O^i (V_{\mu\nu}, A^{\mu\nu}, \phi) = \lambda_1 \langle [V_{\mu\nu}, A^{\mu\nu}] \chi_- \rangle + \dots$$

(Gómez-Dumm, Pich, Portolés '04)

$$L_{R\chi T}^{(P_i=-)} = L_{\chi(WZW)}^{(4)} + L_{VJP} + L_{VVP} + L_{VPPP};$$

$$L_{VJP} = \sum_{i=1}^7 \frac{c_i}{M_V} O^i (V_{\mu\nu}, j^\nu, \partial^\mu \phi) = \frac{c_5}{M_V} \epsilon_{\mu\nu\rho\sigma} \langle \{ \nabla_\alpha V^{\mu\nu}, f_+^{\rho\alpha} \} u^\sigma \rangle + \dots$$

(Ruiz-Femenia, Pich, Portolés '03)

$$L_{VVP} = \sum_{i=1}^5 d_i O^i (V_{\mu\nu}, V_{\rho\sigma}, \phi) = d_1 \epsilon_{\mu\nu\rho\sigma} \langle \{ V^{\mu\nu}, V^{\rho\sigma} \} \nabla_\alpha u^\sigma \rangle + \dots$$

$$L_{VPPP} = \sum_{i=1}^5 \frac{g_i}{M_V} O^i (V_{\mu\nu}, \phi) = \frac{g_4}{M_V} \epsilon_{\mu\nu\alpha\beta} \langle \{ V^{\mu\nu}, u^\alpha u^\beta \} \chi_- \rangle + \dots$$

(Gómez-Dumm, Pich, Portolés,  
 $\textcolor{red}{R.}$ , en preparación)

$$\tau^- \rightarrow K \bar{K} \pi^- \nu_\tau \text{ en } R\chi T$$

Trabajo de Investigación

Director: Jorge Portolés

Pablo Roig

# Límite de Gran Número de Colores, $N_C$ : Teoría Quiral de Resonancias, $R\chi T$

$$L_{R\chi T}^{(P_i=+)} = L_{\chi}^{(2)} + L_{V,A}^{kin} + L_V + L_A + L_{VAP};$$

$$L_V = \frac{F_V}{2\sqrt{2}} \langle V_{\mu\nu} f_+^{\mu\nu} \rangle + \frac{iG_V}{\sqrt{2}} \langle V_{\mu\nu} u^\mu u^\nu \rangle$$

$$L_A = \frac{F_A}{2\sqrt{2}} \langle A_{\mu\nu} f_-^{\mu\nu} \rangle$$

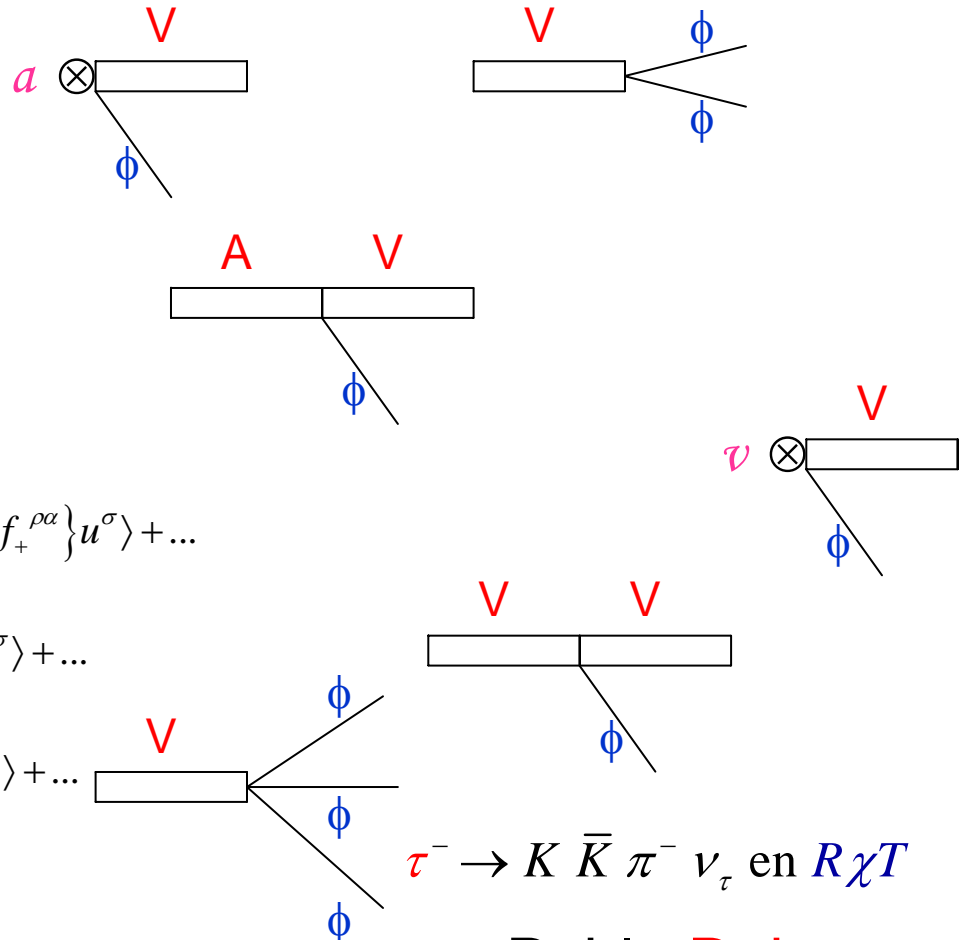
$$L_{VAP} = \sum_{i=1}^5 \lambda_i O^i(V_{\mu\nu}, A^{\mu\nu}, \phi) = \lambda_1 \langle [V_{\mu\nu}, A^{\mu\nu}] \chi_- \rangle + \dots$$

$$L_{R\chi T}^{(P_i=-)} = L_{\chi(WZW)}^{(4)} + L_{VJP} + L_{VVP} + L_{VPPP};$$

$$L_{VJP} = \sum_{i=1}^7 \frac{c_i}{M_V} O^i(V_{\mu\nu}, j^\nu, \partial^\mu \phi) = \frac{c_5}{M_V} \epsilon_{\mu\nu\rho\sigma} \langle \{ \nabla_\alpha V^{\mu\nu}, f_+^{\rho\alpha} \} u^\sigma \rangle + \dots$$

$$L_{VVP} = \sum_{i=1}^5 d_i O^i(V_{\mu\nu}, V_{\rho\sigma}, \phi) = d_1 \epsilon_{\mu\nu\rho\sigma} \langle \{ V^{\mu\nu}, V^{\rho\sigma} \} \nabla_\alpha u^\sigma \rangle + \dots$$

$$L_{VPPP} = \sum_{i=1}^5 \frac{g_i}{M_V} O^i(V_{\mu\nu}, \phi) = \frac{g_4}{M_V} \epsilon_{\mu\nu\alpha\beta} \langle \{ V^{\mu\nu}, u^\alpha u^\beta \} \chi_- \rangle + \dots$$



$$\tau^- \rightarrow K \bar{K} \pi^- \nu_\tau \text{ en } R\chi T$$

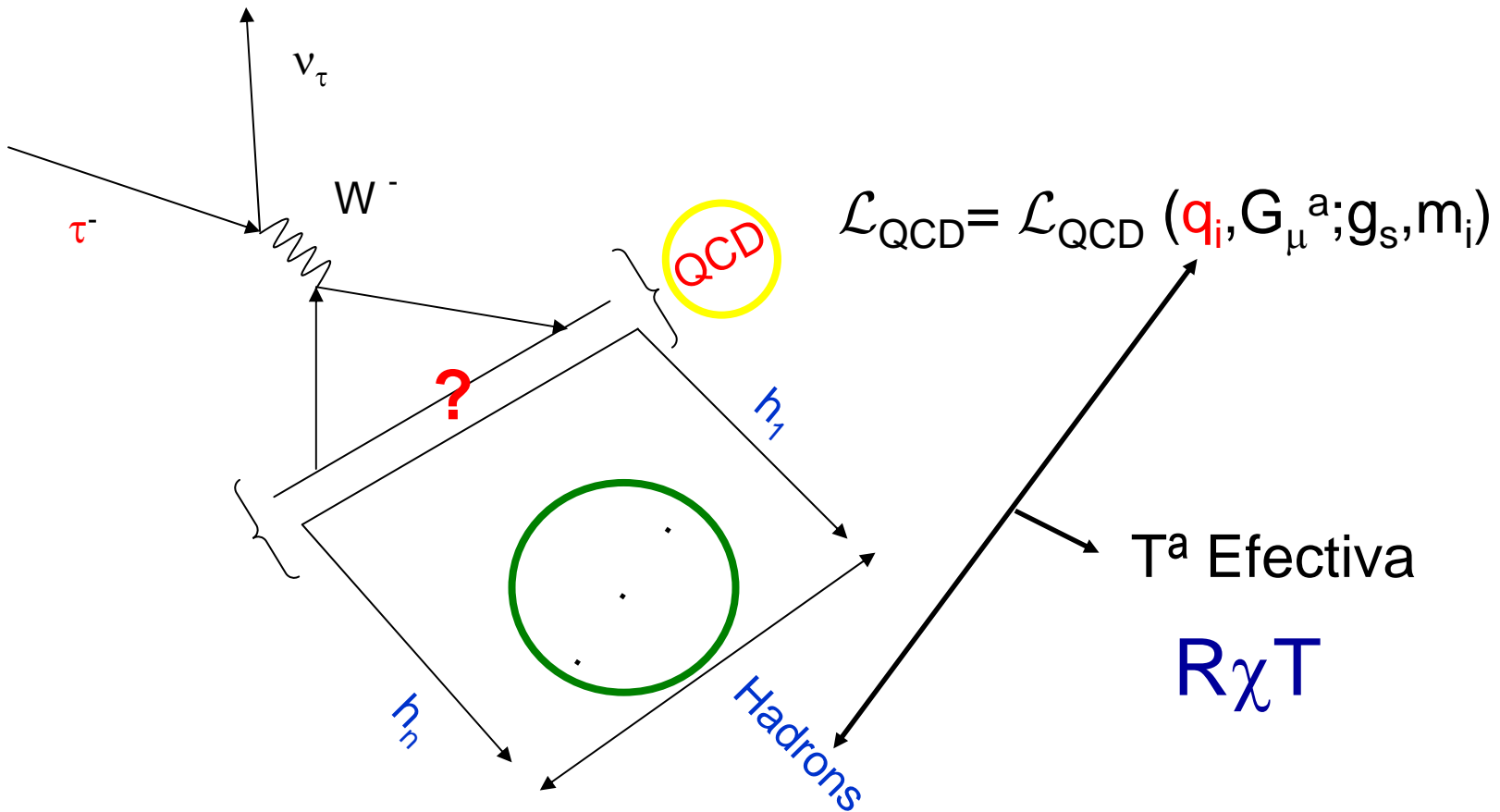
Trabajo de Investigación

Director: Jorge Portolés

Pablo Roig

# Desintegraciones Hadrónicas del lepton $\tau$

(Portolés '04)



# Trabajo de Investigación

Director: Jorge Portolés

$$\tau^- \rightarrow K \bar{K} \pi^- \nu_\tau \text{ en } R\chi T$$

# Pablo Roig

# Desintegraciones Hadrónicas del leptón $\tau$

$$\mathfrak{M} = \frac{G_F}{\sqrt{2}} V_{CKM} \bar{u}(\nu_\tau) \gamma^\mu (1 - \gamma_5) u(\tau) T_\mu$$

$$T_\mu = \langle \text{Hadrones} | (\text{V-A})_\mu e^{iS_{QCD}} | 0 \rangle = \sum_i (\text{Est}^a \text{ Lorentz})^i F_i(Q^2, s_j)$$

$$\tau^- \rightarrow h_1(p_1) h_2(p_2) h_3(p_3) \nu_\tau$$

$$d\Gamma = \frac{G_F^2}{4M_\tau^2} |V_{CKM}|^2 d\Phi^{(n+1)} L_{\mu\nu} T^\mu T^{\nu*}$$

Trabajo de Investigación

Director: Jorge Portolés

$$\tau^- \rightarrow K \bar{K} \pi^- \nu_\tau \text{ en } R\chi T$$

Pablo Roig

# Desintegraciones Hadrónicas del leptón $\tau$

$$\mathfrak{M} = \frac{G_F}{\sqrt{2}} V_{CKM} \bar{u}(\nu_\tau) \gamma^\mu (1 - \gamma_5) u(\tau) T_\mu$$

$$T_\mu = \langle \text{Hadrones} | (\text{V-A})_\mu e^{iS_{QCD}} | 0 \rangle = \sum_i (\text{Est}^a \text{ Lorentz})^i F_i(Q^2, s_j)$$

$$\tau^- \rightarrow h_1(p_1) h_2(p_2) h_3(p_3) \nu_\tau$$

$$(p_1 + p_2 + p_3)^\mu = Q^\mu, \quad V_{1\mu} = \left( g_{\mu\nu} - \frac{Q_\mu Q_\nu}{Q^2} \right) (p_2 - p_1)^\nu, \quad V_{2\mu} = \left( g_{\mu\nu} - \frac{Q_\mu Q_\nu}{Q^2} \right) (p_3 - p_1)^\nu$$

KS

$$T_\mu = V_{1\mu} F_1 + V_{2\mu} F_2 + Q_\mu F_P + i \epsilon_{\mu\nu\rho\sigma} p_1^\nu p_2^\rho p_3^\sigma F_V \quad \tau^- \rightarrow (\pi \pi \pi)^- \nu_\tau \quad (\text{Kühn, Santamaría '90})$$

$$\frac{d\Gamma}{dQ^2} = \frac{G_F^2 |V_{CKM}|^2}{128(2\pi)^5 M_\tau^3} \int ds dt f(I_{0^-}, I_{1^+}, I_{1^-})$$

$$\tau^- \rightarrow K \bar{K} \pi^- \nu_\tau$$

(Gómez-Cadenas, González-García, Pich '90)

$$N_V/N_A \sim 9$$

Trabajo de Investigación

Director: Jorge Portolés

$$\tau^- \rightarrow K \bar{K} \pi^- \nu_\tau \text{ en } R\chi T$$

Pablo Roig

# Canales $(K \bar{K} \pi^-)$ en $R\chi T$

$$\tau^- \rightarrow (\pi \pi \pi)^- \nu_\tau \quad (\text{Gómez-Dumm, Pich, Portolés '04})$$

- Cálculo del elemento de matriz hadrónico en  $R\chi T$
- Comportamiento asintótico de los factores de forma exigido por **QCD**
- Anchura de las Resonancias vectoriales calculada en  $R\chi T$   
Relaciones entre los acoplamientos de  $R\chi T$
- Anchura de las Resonancias axiales insatisfactoria
- Análisis de los datos experimentales
- Implementado en el MC de SHERPA

Trabajo de Investigación

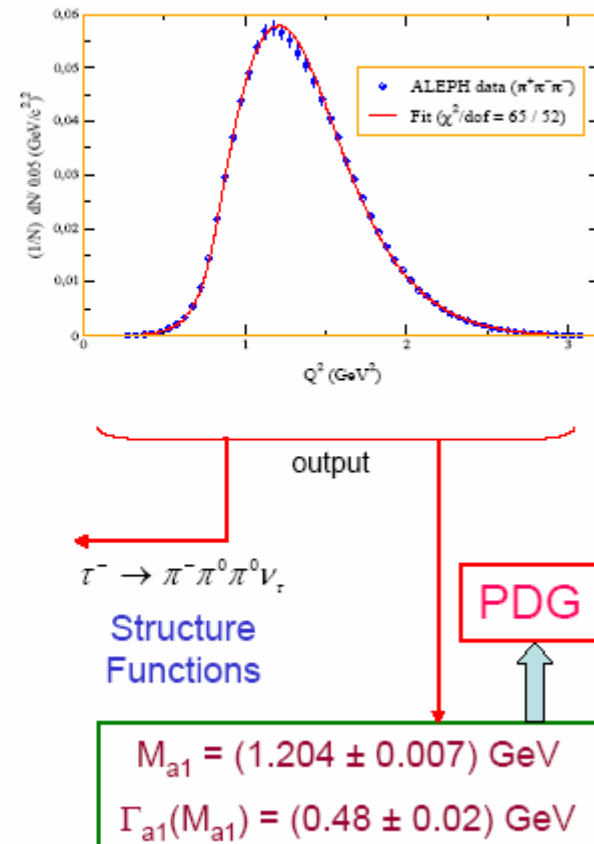
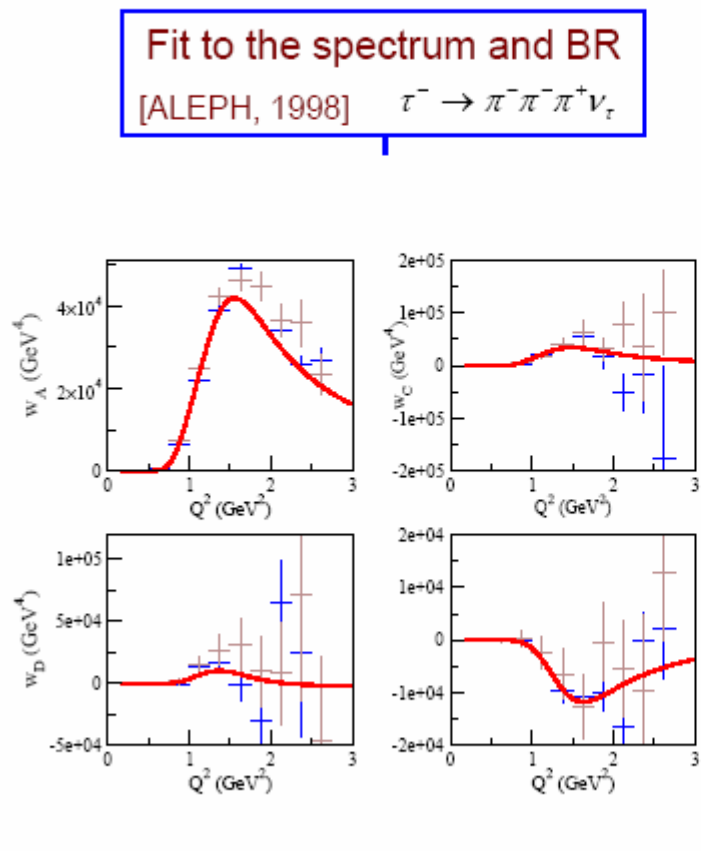
Director: Jorge Portolés

$$\tau^- \rightarrow K \bar{K} \pi^- \nu_\tau \text{ en } R\chi T$$

Pablo Roig

$$\tau^- \rightarrow (\pi^+ \pi^- \pi^0) \nu_\tau \quad (\text{Gómez-Dumm, Pich, Portolés '04})$$

## Procedure and results



Trabajo de Investigación  
Director: Jorge Portolés

$\lambda_0 \sim 12$

$\alpha \sim 2.5$

$\tau^- \rightarrow K \bar{K} \pi^- \nu_\tau$  en  $R\chi T$

Pablo Roig

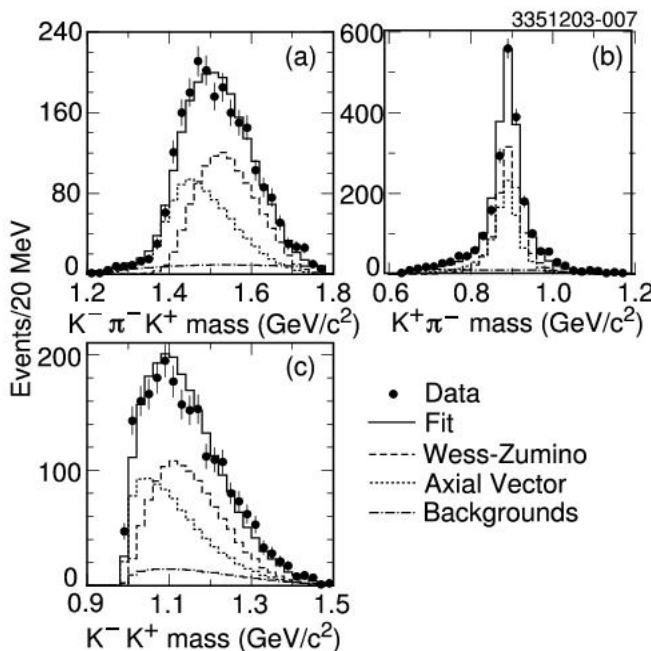
IFIC - Instituto de Física Corpuscular

# Desintegraciones Hadrónicas del lepton $\tau$

(Liu '03) (CLEO-III '04)

**CLEO en**

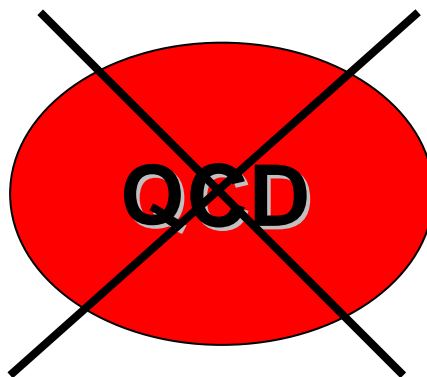
$$\tau^- \rightarrow K \bar{K} \pi^- \nu_\tau$$



$$F_V = \underbrace{\frac{1}{2\sqrt{2}\pi^2 F^3}}_{L^{(4)}_{\chi,WZW}} \sqrt{R_B} \sum_i BW_i$$

$$M_{V,A}^2 \xrightarrow[Q^2 \rightarrow 0]{} 1$$

$$BW_{V,A}(x = s_i, Q^2) = \frac{M_{V,A}^{-2}}{M_{V,A}^{-2} - x - iM_{V,A}\Gamma_{V,A}(x)}$$



**$1.80 \pm 0.53$**

$$\tau^- \rightarrow K \bar{K} \pi^- \nu_\tau \text{ en } R\chi T$$

Trabajo de Investigación

Director: Jorge Portolés

Pablo Roig

# Canales $K \bar{K} \pi^-$ en $R\chi T$

Ejemplo: Nuevos vértices VPPP

Restricciones de cortas distancias

Elemento axial  $F_V R \chi T F^2, +$

$$T^{1R} v_\mu = i \epsilon_{\mu\nu\rho\sigma} p^\nu p^\rho p^\sigma \frac{F_V^2 8 F_A^2}{M_V^2 F^3} = H^2,$$

$$T^{1R} v_\mu = i \epsilon_{\mu\nu\rho\sigma} p^\nu p^\rho p^\sigma \left[ \frac{2 G_V^2 F^2 M_V^2}{384 \pi^2} \frac{(g_1 + 2g_2 - g_3)(s+t) - 2g_2(Q^2 + m_K^2)}{m_K^2 + m_\pi^2} - \lambda_0 (g_1 + 2g_2 - g_3) \right] - (g_1 - g_3) \left( 3m_K^2 \lambda_0 + m_1^2 \right) + 2g_4 \left( m_K^2 + m_\pi^2 \right) + 2g_5 m_K^2$$

$$\lambda'' = 0.$$

Restricciones de cortas distancias

$$g_1 + 2g_2 - g_3 = 0,$$

Corriente Vectorial Relaciones: o bien vector<sub>1</sub>, o bien vector<sub>2</sub>

$$g_2 = \frac{N_c}{192\pi^2} \frac{M_V}{\sqrt{2} F_V}.$$

Trabajo de Investigación

Director: Jorge Portolés

$$\tau^- \rightarrow K \bar{K} \pi^- \nu_\tau \text{ en } R\chi T$$

Pablo Roig

# Canales $K \bar{K} \pi^-$ en $R\chi T$

## Corriente Axial

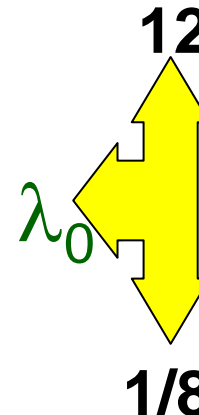
$$F_V G_V = F^2,$$

$$F_V^2 - F_A^2 = F^2,$$

$$2G_V = F_V,$$

$$2\lambda' = 1,$$

$$\lambda'' = 0.$$



(Gómez-Dumm, Pich,  
Portolés '04)

(Cirigliano,  
Ecker, Eidenmüller,  
Pich, Portolés '04)

## Corriente Vectorial

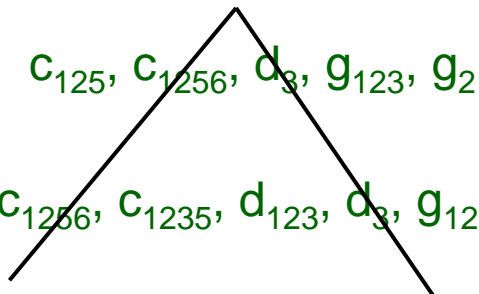
### Fijados

vector<sub>1</sub>:

(Este trabajo)

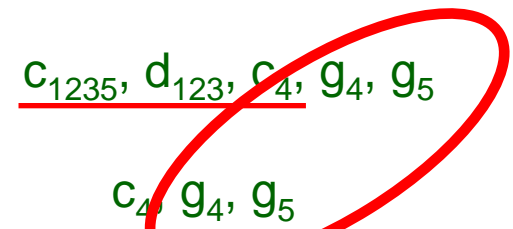
vector<sub>2</sub>:

(Ruiz-Femenia, Pich,  
Portolés '03)



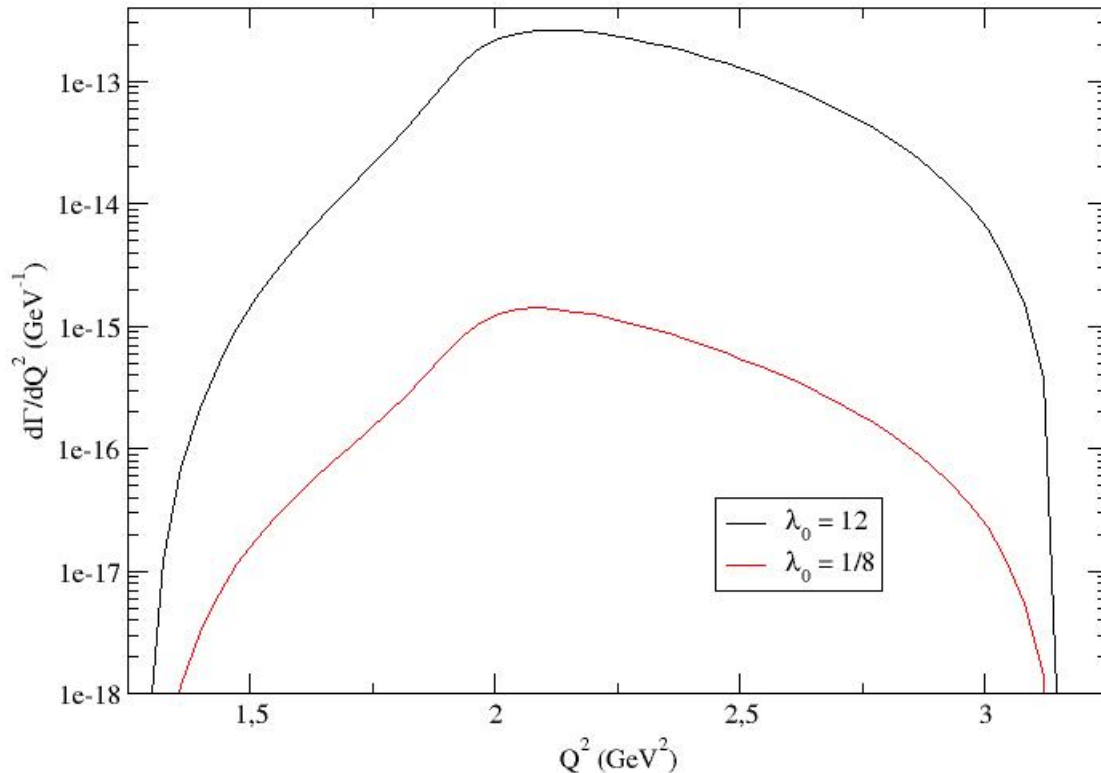
$\omega \rightarrow \pi \pi \pi$

### Libres



# Canales $K \bar{K} \pi^-$ en $R\chi T$

Axial-vector form factor



Trabajo de Investigación

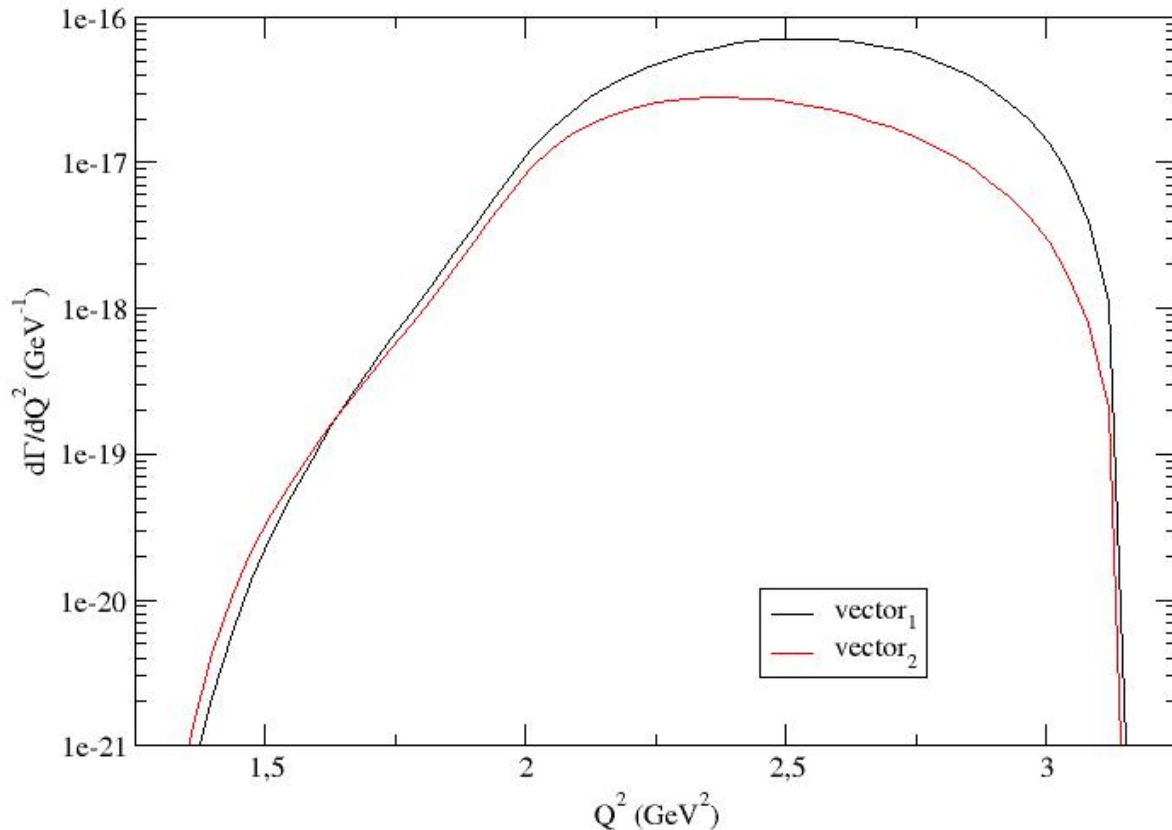
Director: Jorge Portolés

$\tau^- \rightarrow K \bar{K} \pi^- \nu_\tau$  en  $R\chi T$

Pablo Roig

# Canales $K \bar{K} \pi^-$ en $R\chi T$

Vector form factor



Trabajo de Investigación

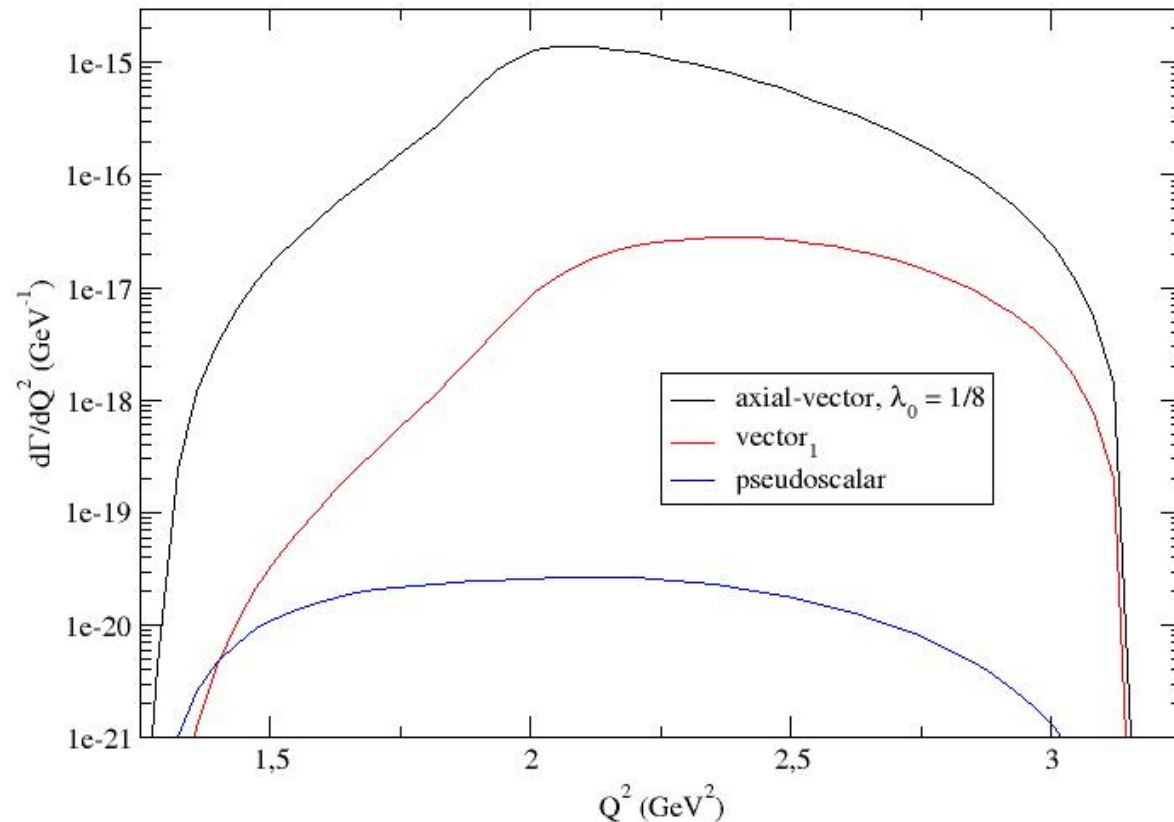
Director: Jorge Portolés

$\tau^- \rightarrow K \bar{K} \pi^- \nu_\tau$  en  $R\chi T$

Pablo Roig

# Canales $K \bar{K} \pi^-$ en $R\chi T$

All contributions



Trabajo de Investigación

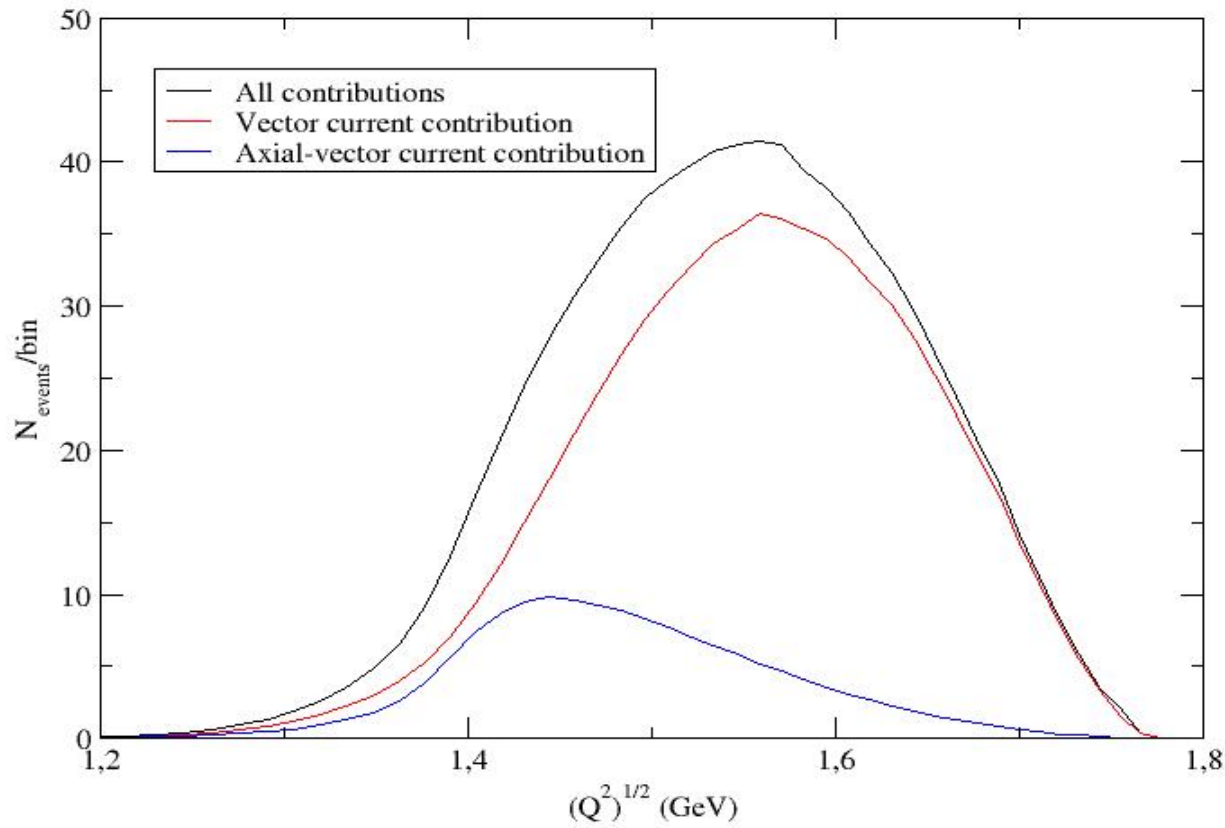
Director: Jorge Portolés

$\tau^- \rightarrow K \bar{K} \pi^- \nu_\tau$  en  $R\chi T$

Pablo Roig

# Canales $K \bar{K} \pi^-$ en $R\chi T$

## OUR RESULT



Trabajo de Investigación

Director: Jorge Portolés

$\tau^- \rightarrow K \bar{K} \pi^- \nu_\tau$  en  $R\chi T$

Pablo Roig

# Canales $K \bar{K} \pi^-$ en $R\chi T$

## Conclusiones

### Sobre los **acoplamientos**

- $\lambda_0 \sim 1/8$
- $|c_{1235}| < 1/2$
- $|c_4| < 1/16$
- $d_{123} \sim$  indeterminado
- $|g_4| < 1$
- $|g_5| < 1$

### Límites conservativos

Trabajo de Investigación

Director: Jorge Portolés

$\tau^- \rightarrow K \bar{K} \pi^- \nu_\tau$  en  $R\chi T$

Pablo Roig

# Canales $K \bar{K} \pi^-$ en $R\chi T$

## Conclusiones

### Sobre los **acoplamientos**

- $\lambda_0 \sim 1/8$
- $|c_{1235}| \leq 1/8$
- $|c_4| \leq 1/32$
- $d_{123} \sim$  indeterminado
- $|g_{45}| \leq 3/4$

Límites más **realistas**

### **Fenomenológicas**

• Dominio  
corriente  
Vectorial

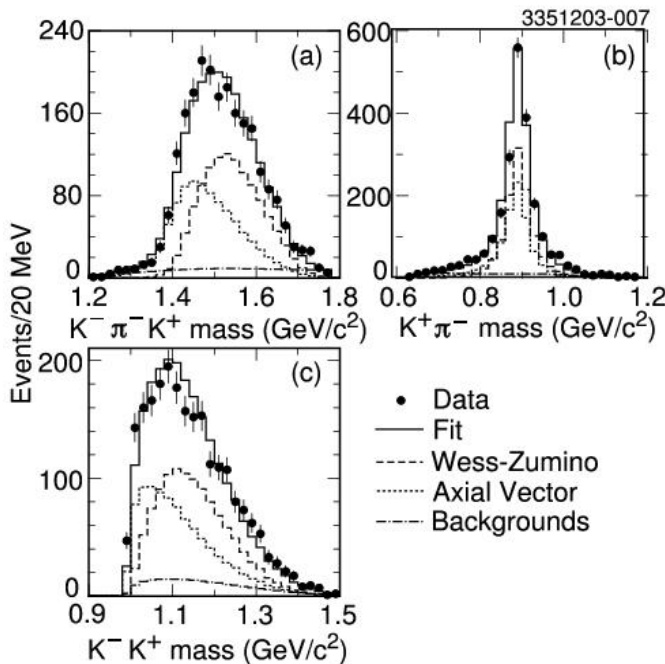
• Factor de Forma  
Axial con  $\lambda_0 \sim 1/8$   
subdominante

• Pseudoescalar

# Canales $K \bar{K} \pi^-$

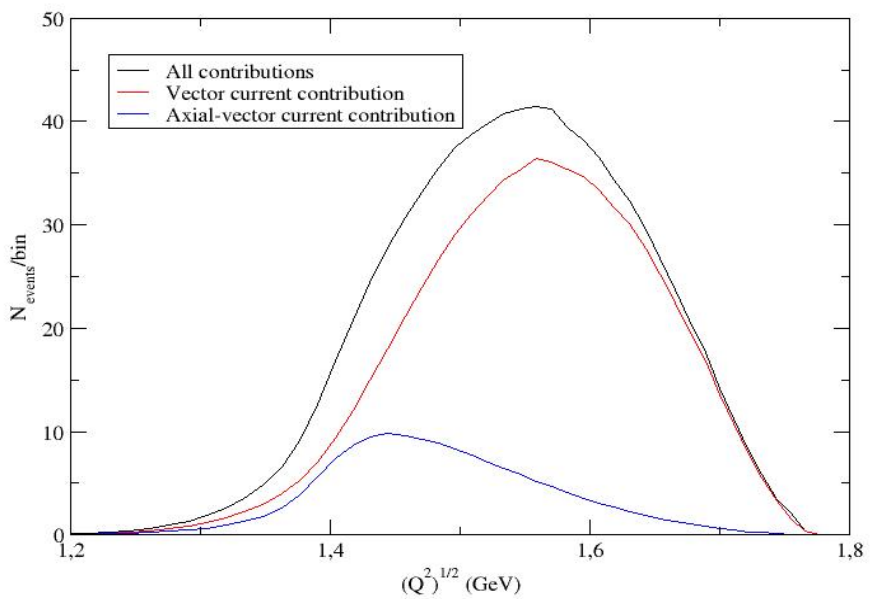
$N_V/N_A \sim 1.5$

**CLEO**



$N_V/N_A \sim 5$

**OUR RESULT**



$$\tau^- \rightarrow K \bar{K} \pi^- \nu_\tau \text{ en } R\chi T$$

Trabajo de Investigación

Director: Jorge Portolés

Pablo Roig

# Canales $K \bar{K} \pi^-$

|  | $\chi\text{PT a } \mathbb{H}(p^2)$ | $\chi\text{PT a } \mathbb{H}(p^4)$ | $F_A$ | $F_A^\vee$ | $F_4^\vee$ | $\Gamma_V$ | $\Gamma_A$ |
|--|------------------------------------|------------------------------------|-------|------------|------------|------------|------------|
|  | $N_V/N_A$                          |                                    |       |            |            |            |            |
| CLEO '04   | $\sim 1.5$                         | Sí                                 |       |            |            |            |            |
| Este Trabajo                                     | $\sim 5$                           |                                    |       |            |            |            |            |
| (Gómez-Cadenas,<br>González-García,<br>Pich '90) | $\sim 9$                           |                                    |       |            |            | $\sim$     | $\sim$     |
| (Finkemeier,<br>Mirkes '95)                      | $\sim 0.4$                         |                                    |       |            |            |            |            |

Trabajo de Investigación

Director: Jorge Portolés

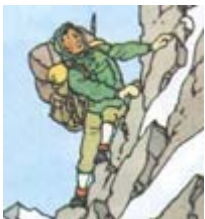
$\tau^- \rightarrow K \bar{K} \pi^- \nu_\tau$  en  $R\chi T$

Pablo Roig

# SHERPA

## (Simulation of High Energy Reactions of PArticles)

- Institute for Theoretical Physics at TU Dresden (Germany)



- Group Leader : Frank Krauss



- Tevatron + LHC

- <http://www.physik.tu-dresden.de/~krauss/hep>

Inserción de nuestros elementos de matriz para  
desintegraciones hadrónicas del tau

Trabajo de Investigación

Director: Jorge Portolés

$\tau^- \rightarrow K \bar{K} \pi^- \nu_\tau$  en  $R\chi T$

Pablo Roig

# CONCLUSIONES Y PERSPECTIVAS DE FUTURO

- $\lambda_0 \sim 1/8 \leftrightarrow \text{DCV: } N_V/N_A \sim 5 \rightarrow \text{TAUOLA, CLEO}$  ~~TAUOLA, CLEO~~
- Hemos acotado los acoplamientos del Lagrangiano de  $R\chi T$
- $\omega \rightarrow \pi \pi \pi$  permitirá pronto mejorar nuestro conocimiento
- Nuestros resultados en SHERPA (LHC, TEVATRON)
- Datos de LHC, BaBar, Belle, BES  $\leftrightarrow$  **ajustes**

$\tau \rightarrow (h_1 h_2 h_3) \nu_\tau \leftrightarrow \text{Hadronización de las corrientes de QCD}$